

بررسی اثر افزودن نانو رس بر خواص فیلم دولایه آگار/ ژلاتین ماهی حاوی نانو ذرات دی‌اکسید تیتانیوم

سید مهدی اجاق^{1*} - اکبر وجدان² - مهدی عبدالهی³

تاریخ دریافت: 1395/04/27

تاریخ پذیرش: 1395/09/28

چکیده

فیلم دولایه آگار/ژلاتین حاوی نانو ذرات دی‌اکسید تیتانیوم (TiO₂) (2 درصد وزنی - وزنی) و نانو رس (با غلظت‌های 3، 5، 10 درصد وزنی - وزنی)، به‌وسیله ترکیب در بستر فیلم ژلاتین به روش قالب‌ریزی و طی 2 مرحله تولید شد و ویژگی‌های ساختاری، فیزیکی، مکانیکی و نوری فیلم تولیدی مورد مطالعه قرار گرفت. نتایج نشان داد که اضافه کردن 2 درصد TiO₂ به فیلم دولایه باعث کاهش بیش از 15 درصدی نفوذپذیری نسبت به بخار در فیلم دولایه می‌شود. همچنین، نرخ جذب آب و میزان رطوبت با اضافه کردن 2 درصد TiO₂ افزایش پیدا کرد. استفاده از نانو ذرات TiO₂ به‌طور قابل توجهی خاصیت نفوذپذیری فیلم دولایه را در برابر نور UV بهبود بخشید به‌طوری‌که با افزودن 2 درصد وزنی - وزنی TiO₂ خاصیت نفوذپذیری نور نسبت به فیلم آگار/ژلاتین کاهش و کدورت فیلم تولیدی افزایش یافت. از طرفی، نتایج نشان داد که افزودن 3 درصد نانورس (وزنی - وزنی) به فیلم آگار/ژلاتین حاوی 2 درصد TiO₂ (وزنی - وزنی) حلالیت و مقاومت کششی فیلم تولیدی به‌ترتیب از 31/41 درصد و 11/55 مگاپاسکال به 33/24 درصد و 18/43 مگاپاسکال افزایش یافت. افزودن غلظت‌های 5 و 10 درصد (وزنی - وزنی) نانو رس باعث کاهش حلالیت فیلم‌های تولیدی از 31/41 درصد برای فیلم آگار/ژلاتین شاهد به 26/09 و 21/49 درصد شد. همچنین، افزودن غلظت‌های مختلف نانو رس به فیلم دولایه حاوی 2% TiO₂ باعث کاهش معنی‌دار عبور نور، شاخص سفیدی، جذب آب و کدورت در فیلم‌های تولیدی به‌ویژه در غلظت 10% شد. نتایج حاصل نشان داد که استفاده از غلظت 5 درصد نانو رس در فیلم آگار/ژلاتین حاوی 2 درصد TiO₂ خواص فیزیکی، مکانیکی و نوری (با در نظر گرفتن کدورت) بهتری در مقایسه با سایر تیمارها داشت.

واژه‌های کلیدی: آگار، ژلاتین ماهی، نانو کامپوزیت، دی‌اکسید تیتانیوم، نانو رس

مقدمه

نسبت به پلیمرهای مصنوعی زیست تخریب پذیر بودن آن هاست (ریم و این جی، 2007).

از میان بیوپلیمرها، ژلاتین یکی از بهترین موادی است که تاکنون برای تهیه فیلم‌ها و پوشش‌های خوراکی به کار رفته است. ژلاتین بیوپلیمری مشتق از کلاژن است (گومز-گیلین و همکاران، 2009). با این وجود فیلم‌های به‌دست‌آمده از این ترکیبات علی‌رغم داشتن ویژگی‌های مطلوب مکانیکی، اغلب سد مناسبی در برابر عبور نور فرابنفش (UV) نمی‌باشند و نمی‌توانند به‌طور مناسب از اکسیداسیون چربی‌ها ممانعت نمایند که برای برطرف شدن این مشکل می‌توان از تکنولوژی نانو رس برای بهبود عملکرد این فیلم‌ها بهره جست. از جمله این نانو ذرات، نانو دی‌اکسید تیتانیوم (TiO₂) است که به‌طور گسترده در طول دهه گذشته به دلیل قیمت ارزان، غیرسمی بودن و ممانعتی که در برابر نور فرابنفش و مرئی دارد مورد استفاده قرار گرفته است (فنگ و همکاران، 2007). طبق گزارش سازمان غذا و

بسته‌بندی‌های تهیه شده از مواد نفتی به دلیل ماهیت غیرقطبی، باعث افزایش مخاطرات زیست‌محیطی به‌عنوان چالش مسئله‌ساز در جهان و افزایش تمایل به استفاده از منابع طبیعی به‌عنوان مواد اولیه برای بسته‌بندی مواد غذایی شده است (ریم و همکاران، 2013). به‌طوری‌که این پلیمرهای طبیعی می‌تواند نشاسته، آگار، ژلاتین، کاراگینان و ... باشد (ریم و همکاران، 2013). بسته‌بندی‌های تهیه شده از پلیمرهای زیستی تا حدودی می‌توانند سدی در برابر نور، رطوبت، بخار آب، گازها و مواد محلول باشند. مزیت اصلی پلیمرهای طبیعی

1 و 2 - به ترتیب دانشیار و دانشجوی کارشناسی ارشد، گروه فرآوری محصولات شیلانی، دانشگاه علوم کشاورزی و منابع طبیعی گرگان، گرگان، ایران
3 - دکتری، دانشگاه تکنولوژی چالمز، گوتنبرگ، سوئد.
(* - نویسنده مسئول: Email: Mahdi_ojagh@yahoo.com
DOI: 10.22067/ifstrj.v1395i0.57476

مواد و روش‌ها

در این تحقیق از آگار و گلیسرول (به‌عنوان پلاستیسیزر) (مرک)، ژلاتین ماهیان سردابی (سیگما آلدریج³)، نانو دی‌اکسید تیتانیوم (فاز روتایل⁴ در اندازه 10 تا 15 نانومتر) (تکنان⁵) و نانوذرات رس (مونت‌موریلونیت) (شرکت Southern Clay⁶؛ آمریکا) استفاده گردید.

آماده‌سازی محلول فیلم‌ها

در مرحله اول، برای تهیه محلول آگار 1/5 درصد وزنی - حجمی، ابتدا 1/5 گرم پودر آگار در 100 میلی لیتر آب مقطر به مدت 30 دقیقه در دمای 95 درجه سانتی‌گراد توسط همزن مغناطیسی ترکیب شد. سپس میزان 33 درصد وزن آگار، گلیسرول به‌عنوان پلاستیسیزر فیلم‌ها به محلول آگار اضافه و به مدت 10 دقیقه با همان دما تحت عمل هم زدن شدید قرار گرفت. در ادامه جهت تهیه فیلم آگار تک لایه، 7 گرم از محلول فیلم به درون پلیت‌های پلاستیکی با قطر 8 سانتی‌متر ریخته شد (به‌منظور آزمون مکانیکال از پلیت 15 سانتی‌متر استفاده شد) و نمونه‌ها به‌منظور نیمه‌خشک شدن به مدت 2 ساعت درون آن با دمای 45 درجه سانتی‌گراد قرار داده شدند. در مرحله دوم، محلول ژلاتین 3 درصد وزن - حجمی به مدت 30 دقیقه بر روی همزن مغناطیسی هیدراته شد پس از هیدراته شدن، محلول ژلاتین به مدت 30 دقیقه در دمای 55 درجه سانتی‌گراد (مو و همکاران، 2012)، روی همزن مغناطیسی آماده‌سازی گردید.

نانو دی‌اکسید تیتانیوم با نسبت 2 درصد وزن ژلاتین در 10 میلی‌لیتر آب مقطر و نانوذرات رس با نسبت‌های 3، 5 و 10 درصد وزن ژلاتین در 10 میلی‌لیتر آب مقطر، به مدت 24 ساعت به کمک همزن مغناطیسی با سرعت بالا پراکنده گردید و با اضافه کردن نانو ذرات TiO_2 و رس به محلول ژلاتین، به‌منظور پراکنده شدن بهتر نانو ذرات در داخل محلول، به مدت 30 دقیقه اتراسوند شد (ژوو و همکاران، 2009). هم زدن شدید تا 1 ساعت ادامه داده شد سپس میزان 33 درصد وزن ژلاتین، گلیسرول به‌عنوان نرم‌کننده به محلول فیلم اضافه گردید. به منظور حباب زدایی محلول ژلاتین- TiO_2 -رس از پمپ خلأ استفاده شد سپس مقدار 5 گرم محلول ژلاتین-نانو دی‌اکسید تیتانیوم-رس آماده‌شده به داخل پلیت حاوی آگار نیمه خشک شده اضافه شد تا تشکیل فیلم دولایه بدهد (آرنسیبیا و همکاران، 2014). در ادامه به‌منظور خشک شدن کامل، فیلم‌های تولیدی به مدت 22 ساعت در انکوباتور یخچال دار با دمای 25 درجه سانتی‌گراد قرار داده شد. پس از خشک شدن فیلم‌ها، آن‌ها را از

دارو، حداکثر مقدار دی‌اکسید تیتانیوم مجاز برای غذا 1 درصد است (لی و همکاران، 2011). از طرفی طبق تحقیقات صورت گرفته توسط وجدان و همکاران (2016)، بهترین غلظت TiO_2 برای فیلم‌های آگار و ژلاتین از لحاظ خواص فیزیکی و نوری 2 درصد گزارش شده است. از طرفی چون در تحقیق حاضر از 2 درصد TiO_2 استفاده شده است بنابراین برای جلوگیری از بروز خطرات احتمالی و بهبود ویژگی‌های فیزیکی و مکانیکی فیلم تولیدی می‌توان از روش تولید فیلم دولایه بهره جست به‌طوری که لایه حاوی نانوذره در قسمت خارجی فیلم قرار داشته و فقط لایه داخلی در تماس با ماده غذایی باشد. با این حال فیلم تولیدی به‌عنوان یک فیلم زیستی ممکن است در برابر عبور بخار آب و همچنین گازها مقاومت کمتری داشته باشد که برای مقابله با آن می‌توان از نانوذرات رس (مونت‌موریلونیت¹) بهره جست. نانورس به دلیل نسبت منظر بالا (50 تا 1000) و سطح گسترده خود که بیش از 750 متر مربع بر گرم می‌باشد به‌طور موثری به‌عنوان یک پرکننده موجب تقویت بیوپلیمرها از طریق ایجاد فضای پرپیچ و خم در برابر عبور بخار آب می‌شود (آرورا و پادیا، 2010).

از سوی دیگر پلی‌ساکاریدها با تنوع بالایی که دارند قابلیت بسیار خوبی جهت تولید فیلم از جمله خاصیت تشکیل ژل قوی و استحکام مکانیکی بالا از خود نشان می‌دهند. از بین پلی‌ساکاریدها، آگار را می‌توان نام برد که از جلبک دریایی رودوفیسه² استخراج می‌شود. فیلم آگار به دلیل سازگار بودن با محیط زیست و قدرت ژلی بالا (فریل و همکاران، 2007) و تولید فیلم خوب از لحاظ مکانیکی (فان و همکاران، 2009) و حساسیت کمتر نسبت به بخار آب و رطوبت (فریل و همکاران، 2007) به‌عنوان مواد اولیه مناسب برای تهیه فیلم و پوشش خوراکی مورد توجه قرار گرفته است. به همین دلیل از آگار می‌توان به‌عنوان لایه دوم برای تولید فیلم دولایه استفاده کرد. بنابراین اضافه کردن نانو دی‌اکسید تیتانیوم به پلیمر ژلاتین از فیلم دولایه آگار/ژلاتین احتمال دارد به‌عنوان سدی در برابر نور UV عمل کرده و بتواند جلوی عبور امواج مضر فرابنفش را بگیرد. لذا در تحقیق حاضر ضمن تولید فیلم دولایه آگار/ژلاتین به همراه نانوذره دی‌اکسید تیتانیوم-رس باهدف استفاده از مزایای پلیمر آگار مانند آب دوستی کمتر نسبت به ژلاتین و توانایی کاهش عبور نور توسط ژلاتین و نانو دی‌اکسید تیتانیوم و اثر بازدارندگی نانورس مونت‌موریلونیت در برابر عبور گازها، خصوصیات فیلم‌های تولیدی از جمله خواص فیزیکی، مکانیکی و نوری مورد ارزیابی قرار خواهد گرفت.

3. Sigma-Aldrich
4. Rutile phase
5. TECNAN
6. Southern Clay Products, USA

1. Montmorillonite
2. Rhodophyceae

ساعت درون ظروف حاوی 50 میلی لیتر آب مقطر قرار گرفت. بعد از این مدت نمونه‌ها را به وسیله کاغذ صافی از آب جدا کرده و پس از خشک کردن در آن 105 درجه سانتی گراد به مدت 24 ساعت، توزین شدند. میزان حلالیت نمونه‌های فیلم در آب از روی تغییرات وزن فیلم بعد از غوطه‌وری در آب نسبت به وزن اولیه نمونه‌ها و با توجه به رابطه زیر محاسبه گردید:

$$(2) \quad 100 \times (\text{وزن ماده خشک اولیه} / \text{وزن فیلم خشک پس از غوطه‌وری} - \text{وزن ماده خشک اولیه}) = \text{درصد حلالیت}$$

اندازه‌گیری میزان نفوذپذیری در برابر بخار آب (WVP)

برای محاسبه نفوذپذیری فیلم‌ها در برابر بخار آب از روش E96-ASTM 95 (1995) استفاده شد برای انجام این آزمون از فنجان‌های شیشه‌ای با قطر 30 میلی‌متر استفاده شد. درون این فنجان‌ها به مقدار 10 میلی لیتر آب مقطر اضافه کرده و سطح فنجان به وسیله نمونه فیلم کاملاً سالم مسدود و لیه‌ها با استفاده از پارافین درزبندی شد. سپس فنجان‌های حاوی نمونه فیلم درون دسیکاتور حاوی سیلیکاژل قرار داده شد. در دمای 25 درجه سانتی گراد اختلاف رطوبت نسبی در دو سمت فیلم، فشار بخاری معادل با $10^3 \times 2/337$ پاسکال ایجاد می‌کند. نمونه‌ها هر 8 ساعت یک‌بار توزین شده و تغییرات وزن فنجان‌ها طی زمان با استفاده از یک ترازوی دیجیتال با دقت 0/0001 گرم اندازه‌گیری شد. منحنی تغییرات رسم و شب هر خط رسم شده به وسیله رگرسیون ($R^2=0/999$) محاسبه گردید. نرخ انتقال بخار آب (WVTR) از تقسیم شیب خط کشیده شده بر سطح فیلم (A) به دست می‌آید.

$$(3) \quad \text{WVTR} = \text{سطح فیلم} / \text{شیب خط}$$

با ضرب کردن نرخ انتقال بخار آب در میانگین ضخامت فیلم (L) و تقسیم بر اختلاف فشار بین رطوبت نسبی درون فنجان‌ها و رطوبت نسبی دسیکاتور (ΔP)، نفوذپذیری در برابر بخار آب (WVP) به دست می‌آید.

$$(4) \quad \text{WVP} = (\text{WVTR} \times L) / \Delta P$$

اندازه‌گیری جذب آب

برای رسم منحنی جذب آب نمونه‌های فیلم، از روش لاورگنا و همکاران (2010) استفاده شد. ابتدا نمونه‌های فیلم به ابعاد 2×2 سانتی متر مربع برش داده شد و به مدت 24 ساعت در دسیکاتور حاوی سیلیکاژل نگهداری شد. در ادامه با توزین نمونه‌ها به وسیله ترازوی دیجیتال با دقت 0/0001 گرم، وزن خشک اولیه نمونه‌ها به دست آمد. سپس نمونه در ظروف درب دار حاوی 30 میلی لیتر آب مقطر (pH=7) و در دمای اتاق غوطه‌ور شد. به منظور تعیین میزان جذب، نمونه‌ها را در زمان‌های معین از ظرف‌ها خارج کرده و پس از خشک کردن به وسیله دستمال کاغذی، مجدداً نمونه‌ها توزین شده و

پلیت‌ها جدا کرده و فیلم‌های آماده جهت انجام تست‌های مربوطه، درون کیسه‌های پلی اتیلنی نگهداری شدند (اجاق و همکاران، 2010).

اندازه‌گیری ضخامت

برای اندازه‌گیری ضخامت نمونه‌ها از ریزسنج دیجیتالی (با دقت 0/001 میلی‌متر، Mitutoyo، ژاپن) استفاده شد. اندازه‌گیری‌ها به صورت تصادفی در پنج نقطه از هر نمونه تکرار شد. میانگین ضخامت این نقاط برای تعیین ویژگی‌های فیزیکی و مکانیکی فیلم‌ها استفاده گردید. از طرفی برای آزمون‌های درصد رطوبت، مکانیکال و نفوذپذیری در برابر بخار آب از مشروط کردن نمونه‌ها استفاده شد. به طوری که نمونه‌ها قبل از انجام آزمون در دسیکاتور حاوی نیترات منیزیم (برای ایجاد رطوبت نسبی 53 درصد) و در دمای 25 درجه سانتی گراد به مدت 48 ساعت نگهداری شدند.

آزمون میکروسکوپ الکترونی روبشی (SEM)

به منظور بررسی ساختار نمونه فیلم‌های تولیدی از میکروسکوپ الکترونی روبشی (Philips XL30, The Netherlands) استفاده شد. ابتدا فیلم‌ها در ابعاد بسیار کوچک بریده شده و سپس به کمک چسب نقره بر روی پایه آلومینیومی چسبانده شدند. پایه‌ها در یک دستگاه پوشش‌دهنده/پاشنده طلا پوشش داده شدند. تصویربرداری از نمونه‌ها در بزرگنمایی‌های مختلف انجام گرفت.

درصد رطوبت (MC)

ابتدا نمونه‌های فیلم به شکل مربع به ابعاد $2/5 \times 2/5$ سانتی‌متر بریده شده و در دسیکاتور حاوی نیترات منیزیم (برای ایجاد رطوبت نسبی 53%) و در دمای 25 درجه سانتی گراد به مدت 48 ساعت نگهداری شدند. در ادامه نمونه‌ها توزین و داخل پلیت‌های شیشه‌ای قرار داده شد سپس به مدت 24 ساعت در دمای 105 درجه سانتی گراد خشک گردید. نمونه همراه با پلیت پس از این مدت خارج شده و پس از سرد شدن در دسیکاتور مجدداً توزین گردید. محتوای رطوبت فیلم‌ها بر پایه وزن مرطوب از رابطه‌ی زیر محاسبه گردید (اجاق و همکاران، 2010).

$$(1) \quad 100 \times (\text{وزن نمونه فیلم مرطوب} / \text{وزن نمونه فیلم خشک شده} - \text{وزن نمونه فیلم مرطوب}) = \text{رطوبت} (\%)$$

سنجش حلالیت در آب (WS)

برای به دست آوردن وزن اولیه ثابت، ابتدا نمونه‌های فیلم ($2/5 \times 2/5$ سانتی متر) در آن با دمای 105 درجه سانتی گراد به مدت 24 ساعت خشک شد. سپس نمونه‌های خشک شده به مدت 24

داخل دستگاه اسپکتروفتومتری قرار داده شد و عدد قرائت گردید. همچنین به منظور محاسبه میزان کدورت فیلم‌ها از رابطه زیر استفاده گردید.

$$(8) \text{ ضخامت فیلم (میلی‌متر) / میزان جذب در } 600 \text{ نانومتر} = \text{کدورت}$$

تجزیه و تحلیل آماری داده‌ها

تجزیه و تحلیل آماری داده‌ها با استفاده از نرم‌افزار SPSS نسخه 20 انجام شد. ابتدا بررسی نرمال بودن داده‌ها با استفاده از آزمون Kolomogorav-Smirnov و سپس همگنی واریانس داده‌ها با آزمون لون³ انجام گردید. جهت تعیین اختلاف بین تیمارها از روش آنالیز یک طرفه⁴ در قالب طرح کاملاً تصادفی و برای مقایسه میانگین‌ها از آزمون دانکن استفاده شد. سطح معنی‌داری در مورد تمامی فاکتورها $p < 0/05$ در نظر گرفته شد.

نتایج و بحث

آزمون میکروسکوپ الکترونی روبشی

ریخت‌شناسی فیلم‌ها یکی از ویژگی‌های مهم در تعیین بسیاری از خواص (همگنی و ویژگی‌های سطح فیلم) در بیوفیلم‌ها می‌باشد (چانگ و همکاران، 2010). تصاویر میکروسکوپ الکترونی روبشی از سطح فیلم دولایه آگار/ژلاتین شاهد و سطح فیلم آگار/ژلاتین - TiO_2 حاوی 3، 5 و 10 درصد نانو ذرات رس در شکل 1 نشان داده شده است. مشاهدات حاکی از آن است که سطح فیلم‌های تولیدی صاف، همگن و بدون هیچ‌گونه ترک خوردگی و منفذ می‌باشد. در فیلم دولایه حاوی 2% TiO_2 (b) و 3% TiO_2 (c) نانو رس، توزیع یکنواختی از نانو ذرات TiO_2 و رس بر روی سطح فیلم دولایه آگار/ژلاتین مشاهده شد. به طوری که نانو ذرات TiO_2 پراکنده شده روی سطح فیلم دولایه b و c به ترتیب 49 و 51 نانومتر مشاهده شدند. در مقابل، با افزایش غلظت نانو ذرات رس، به دلیل تجمع نانو ذرات، اندازه نانو ذرات TiO_2 افزایش یافته و در فیلم دولایه d و e به ترتیب به 58 و 70 نانومتر رسیده است که این امر موجب کاهش همگنی سطح فیلم حاوی 5 درصد و به ویژه 10 درصد نانو رس شد (d و e). دلیل افزایش اندازه نانو ذرات ممکن است در نتیجه سطح انرژی بالای نانو ذرات TiO_2 لی و همکاران (2011): ژلفی و همکاران (2014) و افزایش ویسکوزیته پلیمر در نتیجه افزایش غلظت نانو ذرات رس باشد (آلبوفتیه و همکاران، 2013).

سپس به درون ظرف بازگردانده می‌شد (توزین نمونه تا زمان رسیدن به تعادل رطوبتی ادامه پیدا کرد). میزان رطوبت فیلم نسبت به زمان به وسیله فرمول زیر محاسبه شد:

$$(5) 100 \times (\text{وزن خشک اولیه فیلم} / \text{وزن فیلم خشک اولیه} - \text{وزن فیلم خشک پس از غوطه‌وری}) = \text{درصد جذب رطوب}$$

اندازه‌گیری خواص مکانیکی

اندازه‌گیری میزان مقاومت کششی (TS^1) و کرنش تا نقطه شکست ($E\%^2$) فیلم‌ها با استفاده از دستگاه اینستران (Instron Universal Testing Machine - A1 700, Gotech, Taiwan) با استفاده از استاندارد ASTM D882-02 (2002) اندازه‌گیری شد. ابتدا نمونه‌های فیلم به شکل مستطیل به ابعاد $2/5 \times 10$ سانتی‌متر مربع بریده شده و در دستگاه‌های نیترات منیزیم (برای ایجاد رطوبت نسبی 53%) و در دمای 25 درجه سانتی‌گراد به مدت 48 ساعت نگهداری شدند. سپس نمونه‌ها بین دو فک دستگاه قرار گرفت. فاصله اولیه بین دو فک و سرعت حرکت فک بالایی به ترتیب برابر 50 میلی‌متر و 50 میلی‌متر/دقیقه تعیین و داده‌ها توسط کامپیوتر ثبت گردید. مقاومت کششی فیلم‌ها از رابطه زیر محاسبه گردید:

$$(6) \text{ ضخامت فیلم} \times \text{عرض فیلم} / \text{حداکثر نیرو در لحظه پاره شدن} = \text{مقاومت کششی}$$

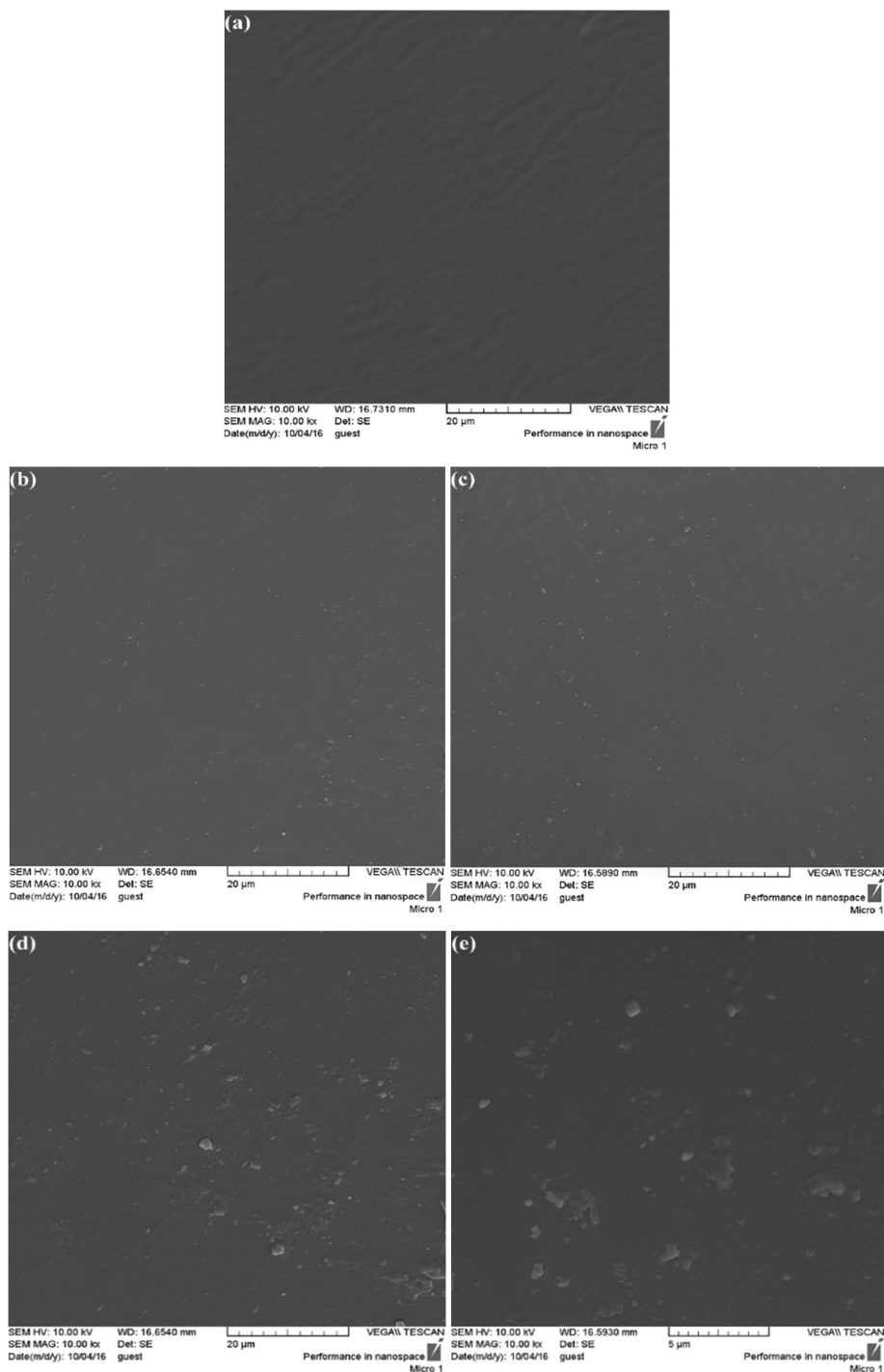
اندازه‌گیری رنگ

جهت تعیین رنگ فیلم‌ها از دستگاه رنگ سنج (BYK Gardner, USA) استفاده گردید. ابتدا نمونه‌های فیلم بر روی صفحه استاندارد سفید ($L^* = 94/63$, $a^* = -0/88$, $b^* = 0/65$) قرار داده شدند. سپس پارامترهای رنگ از قبیل L^* (روشنایی)، a^* (قرمزی-سبزی) و b^* (آبی-زردی) برای هر نمونه با 5 تکرار و با در نظر گرفتن 5 نقطه به صورت تصادفی در هر تکرار به وسیله دستگاه رنگ‌سنج قرائت شد. ΔE (اختلاف رنگ کل)، به وسیله فرمول (7) محاسبه شد.

$$(7) \Delta E = \sqrt{(\Delta L^*)^2 + (\Delta a^*)^2 + (\Delta b^*)^2}$$

ارزیابی خواص نوری

طیف عبور نور از نمونه‌های فیلم در طول موج‌های 200-800 نانومتر به وسیله دستگاه اسپکتروفتومتر ($\lambda = 25$, PerkinElmer, Fremont, CA, USA) در 5 تکرار اندازه‌گیری شد. ابتدا دستگاه به وسیله سلول خالی کالیبره شد. سپس نمونه‌های برش داده شده ($0/9 \times 4$ سانتی‌متر) را درون سل چسبانده و سپس



شکل 1- تصاویر میکروسکوپ الکترونی روبشی (SEM) سطح فیلم دولایه آگار/ژلاتین (a)، آگار/ ژلاتین حاوی 2 درصد دی اکسید تیتانیوم (b) و سطح فیلم دولایه آگار/ ژلاتین-2% دی اکسید تیتانیوم حاوی 3 درصد (c)، 5 درصد (d) و 10 درصد (e) نانو ذرات رس.

ویژگی‌های فیزیکی و مکانیکی فیلم

خواص فیزیکی فیلم‌ها (رطوبت، میزان حلالیت، نفوذپذیری نسبت به بخار آب (WVP) و جذب آب)

نتایج مربوط به درصد رطوبت و درصد حلالیت در آب فیلم‌های تولیدی آگار/ژلاتین در جدول 1 گزارش شده است. با افزودن 2% نانوذرات دی‌اکسید تیتانیوم، میزان رطوبت موجود در فیلم‌های تولیدی افزایش پیدا کرده است به طوری که مقدار رطوبت در فیلم شاهد از 13/06 درصد به 15/71 درصد در فیلم دولایه حاوی 2 درصد نانو TiO_2 رسید. که دلیل آن ممکن است به خاطر خاصیت آبدوستی نانو ذرات TiO_2 در فیلم تولیدی باشد (اولیایی و همکاران، 2016). در حالی که با اضافه کردن درصد‌های مختلف نانورس (3، 5 و 10 درصد) به فیلم دولایه حاوی 2 درصد TiO_2 ، میزان رطوبت فیلم‌های تولیدی نسبت به فیلم آگار/ژلاتین حاوی 2 درصد دی‌اکسید تیتانیوم به‌طور معنی‌داری کاهش یافت ($p < 0/05$). که دلیل آن ممکن است به خاطر افزایش برهم‌کنش بین زنجیره پلیمر (ژلاتین) و نانورس اضافه شده به آن و به دنبال آن کاهش گروه هیدروکسیل باشد (عبدالهی و همکاران، 2013). به طوری که ممکن است افزودن نانوذرات رس باعث تشکیل پیوند قوی هیدروژنی بین گروه‌های هیدروکسیل

بیوپلیمر و نانورس شده باشد (عبدالهی و همکاران، 2013). با این حال، اختلاف معنی‌داری بین فیلم‌های حاوی درصد‌های 5 و 10 درصد نانورس مشاهده نشد ($p > 0/05$).

حلالیت از جمله ویژگی‌های مهم در فیلم‌های زیست‌تخریب‌پذیر است که می‌تواند تعیین‌کننده میزان مقاومت فیلم نسبت به آب، به‌خصوص در محیط‌های حاوی رطوبت مثل مواد غذایی گوشتی باشد (پورتوم و چینان، 2008). نتایج نشان می‌دهد که اضافه نمودن 2 درصد نانو ذرات TiO_2 به فیلم دولایه آگار/ژلاتین باعث افزایش معنی‌دار حلالیت فیلم تولیدی (36/49 درصد) نسبت به فیلم آگار/ژلاتین شاهد (31/41 درصد) شد ($p < 0/05$) که احتمال دارد به دلیل عدم برهم‌کنش بین TiO_2 و ژلاتین و خاصیت آبدوستی کم نانوذرات TiO_2 باشد (اولیایی و همکاران، 2016). درحالی‌که اضافه کردن درصد‌های مختلف نانورس به فیلم دولایه 2% TiO_2 موجب کاهش معنی‌دار میزان حلالیت در فیلم‌های تولیدی شد که احتمال دارد به دلیل نسبت منظر بالای نانوذرات رس، تعداد برهم‌کنش‌های بین نانوذرات رس و زنجیره‌های پلیمری افزایش یافته و منجر به استحکام بیشتر فیلم‌های حاوی نانوذرات رس در برابر حلالیت در آب شده باشد (ریم، 2011).

جدول 1- خواص فیزیکی و مکانیکی فیلم دولایه 2% TiO_2 حاوی درصد‌های مختلف نانو ذرات رس.

فیلم	غلظت (%)		رطوبت (%)	ضخامت (μm)	حلالیت (%)	مقاومت کششی (MPa)	افزایش طول (%)
	MMT	TiO_2					
آگار/ژلاتین	0	0	13/06±0/02 ^c	81/67±0/00 ^c	31/41±0/11 ^c	11/55±0/07 ^d	48/19±0/16 ^a
آگار/ژلاتین	0	2	15/71±0/13 ^a	81/71±0/01 ^c	36/49±0/12 ^a	12/86±0/05 ^c	41/77±0/13 ^b
آگار/ژلاتین	3	2	14/41±0/40 ^b	82/11±0/01 ^b	33/24±0/10 ^b	18/43±0/50 ^b	37/55±0/10 ^c
آگار/ژلاتین	5	2	12/03±0/04 ^d	82/14±0/02 ^b	26/09±0/16 ^d	20/54±0/36 ^a	31/49±0/01 ^d
آگار/ژلاتین	10	2	12/32±0/15 ^d	82/85±0/01 ^a	21/49±0/41 ^e	18/02±0/94 ^b	28/90±0/11 ^c

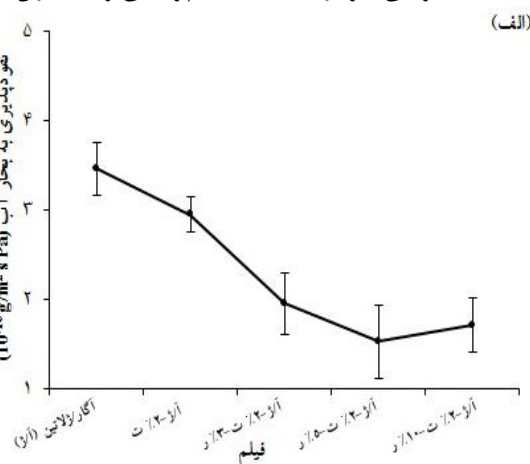
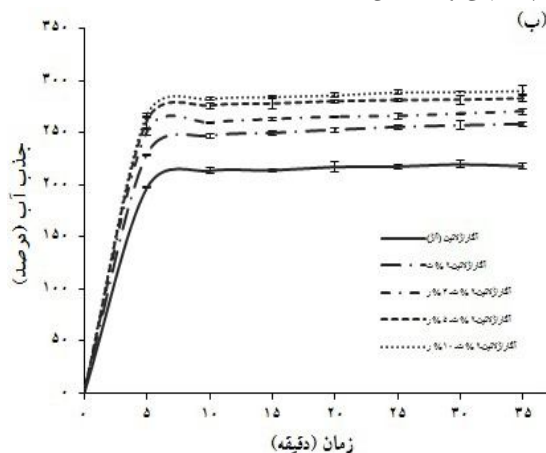
حروف غیرمشابه در هر ستون، نشان‌دهنده اختلاف معنی‌دار ($p < 0/05$) بین تیمارها می‌باشد.

درصد نانو TiO_2 ، کاهش پیدا کرد. نتایج حاکی از آن است که افزایش غلظت نانو رس در فیلم دولایه باعث کاهش معنی‌داری در مقدار WVP گردید ($p < 0/05$) که با نتایج پیردا و همکاران (2011) همخوانی داشت. کاهش مقدار WVP در تحقیق حاضر می‌تواند به دلیل فضای پریچ و خم ایجاد شده در اثر نانو ذرات رس (با افزایش غلظت این نانوذره) و به دنبال آن بسته شدن مسیره‌های ریز موجود در فیلم‌ها در اثر افزایش اندازه نانوذرات به‌ویژه نانوذرات دی‌اکسید تیتانیوم باشد (ریم، 2011).

نتایج مربوط به میزان جذب آب در فیلم‌های دولایه شاهد و فیلم دولایه حاوی 2 درصد TiO_2 با غلظت‌های مختلف نانورس پس از 35 دقیقه غوطه‌وری در آب در شکل 2 (ب) نشان داده شده است. منحنی جذب آب نشان داد که در 5-7 دقیقه اول، فیلم از نظر جذب رطوبت

نفوذپذیری نسبت به بخار آب (WVP) یکی از مهم‌ترین خواص عملکردی فیلم‌ها برای بسته‌بندی مواد غذایی است (جانگ و همکاران، 2010)؛ بنابراین فیلم‌هایی که کمترین میزان WVP را دارند باعث کاهش جابجایی رطوبت بین محیط اطراف و مواد غذایی بسته‌بندی شده و به دنبال آن باعث حفظ کیفیت مواد غذایی می‌شوند (گوتنارد و همکاران، 1992). میزان نفوذپذیری فیلم دولایه حاوی درصد‌های مختلف نانو رس در شکل 2 (الف) مشاهده می‌شود. نتایج نشان می‌دهد که افزودن 2 درصد نانو TiO_2 به فیلم دولایه آگار/ژلاتین باعث کاهش میزان نفوذپذیری آن نسبت به بخار آب می‌شود به طوری که میزان نفوذپذیری به بخار آب در فیلم دولایه آگار/ژلاتین شاهد از $3/46 \times 10^{-10}$ پاسکال \times متر⁻¹ ثانیه گرم) $2/95 \times 10^{-10}$ پاسکال \times متر⁻¹ ثانیه گرم) در فیلم حاوی 2

به حالت اشباع رسیده است. با توجه به نتایج، افزودن 2 درصد نانورس TiO_2 موجب افزایش معنی دار جذب آب نسبت به تیمار شاهد شد ($p < 0/05$). به طوری که در دقیقه 35 میزان جذب آب از 217/70 درصد برای فیلم دولایه شاهد به 257/76 درصد برای فیلم دولایه حاوی 2 درصد نانورس TiO_2 افزایش یافت که دلیل آن ممکن است به خاطر ماهیت آب دوستی نانوذرات TiO_2 باشد (اولیایی و همکاران، 2013).



شکل 2- منحنی نفوذپذیری نسبت به بخار آب (الف) و جذب آب (ب) فیلم دولایه آگار/ژلاتین (آ/ژ)، آگار/ژلاتین-2% دی اکسید تیتانیوم (آ/ژ-2% ت)، آگار/ژلاتین-2% دی اکسید تیتانیوم-3% رس (آ/ژ-2% ت-3% ر)، آگار/ژلاتین-2% دی اکسید تیتانیوم-5% رس (آ/ژ-2% ت-5% ر)، آگار/ژلاتین-2% دی اکسید تیتانیوم-10% رس (آ/ژ-2% ت-10% ر).

از جمله گروه های سولفیدریل و کربوکسیلیک با نانوذرات TiO_2 باشد (ژوو و همکاران، 2009). درحالی که درصد افزایش طول به طور معنی داری از 48/19 به 41/77 درصد کاهش یافت (جدول 1). همچنین با افزودن غلظت های 3 و 5 درصد رس مقاومت کششی فیلم ها افزایش یافت که ممکن است به دلیل توزیع همگن نانوذرات رس در ژلاتین باشد به طوری که نانورس در این غلظت ها به عنوان یک پرکننده موجب تقویت خواص پلیمر می شود (آزردو، 2009). با این حال با افزایش غلظت نانورس تا 10 درصد از مقاومت کششی فیلم تولیدی کاسته شد که دلیل آن ممکن است به خاطر تجمع نانوذرات رس و TiO_2 و آسیب دیدن ساختار فیلم در این غلظت از نانورس باشد. همچنین درصد افزایش طول فیلم تولیدی با افزودن نانوذرات TiO_2 و نانورس به شکل معنی داری کاهش یافت ($p < 0/05$) که ممکن است به خاطر خاصیت ضد نرم کنندگی نانوذرات TiO_2 و ماهیت سخت نانورس و TiO_2 در فیلم آگار/ژلاتین باشد که با تحقیقات صورت گرفته توسط لی و همکاران (2011) مطابقت دارد؛ بنابراین احتمال دارد با تغییر نوع یا افزایش در مقدار مواد نرم کننده در فیلم همزمان با افزایش غلظت نانورس بتوان خواص مکانیکی فیلم تولیدی را بهبود بخشید (آلبوفتیل و همکاران، 2013).

خواص مکانیکی فیلم ها (مقاومت کششی و درصد افزایش طول)

در جدول 1 مقادیر ضخامت، مقاومت کششی و درصد افزایش طول در لحظه پاره شدن فیلم های تولیدی نشان داده شده است. با اضافه نمودن 2 درصد TiO_2 به ژلاتین از فیلم دولایه آگار/ژلاتین، ضخامت فیلم تولیدی افزایش پیدا کرد. ولی این افزایش ضخامت معنی دار نبود ($p > 0/05$). از طرفی افزودن غلظت های مختلف نانورس نیز باعث افزایش معنی دار ضخامت فیلم های تولیدی شد به طوری که ضخامت فیلم تولیدی در غلظت 10 درصد نانورس به 82/75 میکرومتر در مقایسه با فیلم آگار/ژلاتین شاهد با ضخامت 81/67 میکرومتر رسید ($p < 0/05$) که ممکن است به دلیل افزایش اندازه نانوذرات TiO_2 و رس در نتیجه افزایش غلظت نانوذرات رس در بستر ژلاتین باشد.

با افزودن 2 درصد نانورس TiO_2 به فیلم دولایه آگار/ژلاتین، میزان مقاومت کششی به طور معنی داری از 11/55 به 12/86 مگا پاسکال افزایش یافت ($p < 0/05$). که نشان دهنده اثر تقویت کننده نانوذرات TiO_2 در بستر ژلاتین است. بهبود مقاومت کششی در این غلظت می تواند متأثر از پراکنده شدن یکنواخت نانوذرات TiO_2 در ماتریکس ژلاتین و برهم کنش برخی از آمینواسیدهای خاص موجود در ژلاتین

ویژگی‌های سطحی، عبور نور و کدورت فیلم‌ها

اثر افزودن نانو ذرات دی‌اکسید تیتانیوم-رس بر روی شاخص‌های رنگ L^* ، a^* و b^* اختلاف رنگ نمونه‌ها (ΔE) و شاخص سفیدی (WI) فیلم تولیدی در جدول 2 گزارش شده است. رنگ فیلم به دلیل تأثیر مستقیم بر ظاهر محصولات بسته‌بندی شده و مقبولیت محصول نزد مشتری از اهمیت بالایی برخوردار است (پورتووم، 2008). نتایج حاصل نشان داد که افزودن نانو ذرات TiO_2 به فیلم دولایه موجب کاهش معنی‌دار در شاخص‌های a^* و ΔE و افزایش معنی‌دار در شاخص‌های L^* ، b^* و WI فیلم‌های تولیدی شد (جدول 2).

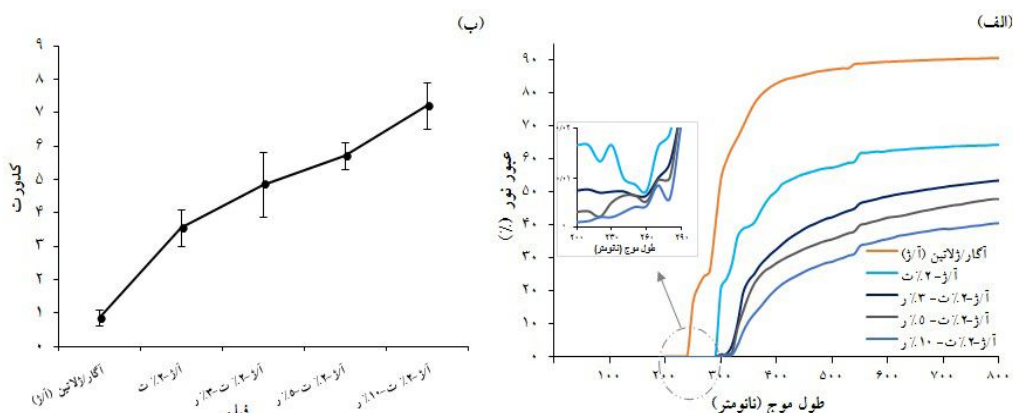
جدول 2- شاخص‌های مربوط به رنگ فیلم دولایه آگار/ژلاتین، آگار/ژلاتین حاوی 2 درصد TiO_2 و آگار/ژلاتین-2% TiO_2 حاوی درصد‌های مختلف نانو ذرات رس.

WI	ΔE	b^*	a^*	L^*	غلظت (%)		فیلم
					MMT	TiO_2	
92/64±1/15 ^c	3/95±0/09 ^{ab}	-0/31±0/45 ^c	2/51±0/48 ^a	93/09±0/17 ^d	0	0	آگار/ژلاتین
95/15±0/08 ^a	3/02±0/21 ^b	0/13±0/66 ^d	2/03±0/20 ^a	95/60±0/90 ^a	0	2	آگار/ژلاتین
94/15±0/71 ^b	3/58±0/07 ^b	0/70±0/01 ^c	1/85±0/05 ^a	95/36±0/61 ^{ab}	3	2	آگار/ژلاتین
90/53±0/20 ^d	4/54±0/01 ^{ab}	1/30±1/03 ^b	1/81±0/26 ^a	95/01±0/78 ^b	5	2	آگار/ژلاتین
88/06±0/91 ^e	6/92±0/37 ^a	1/81±0/35 ^a	1/61±0/10 ^a	94/19±1/41 ^c	10	2	آگار/ژلاتین

حروف غیرمشابه در هر ستون، نشان‌دهنده اختلاف معنی‌دار ($p < 0/05$) بین تیمارها می‌باشد.

تولیدی شد که دلیل آن ممکن است به خاطر ماهیت رنگ نانو ذرات رس و یا حل نشدن کامل نانو ذرات غیرآلی رس در غلظت بالاتر در ماتریس ژلاتین باشد (عبدالهی و همکاران، 2013). همچنین با افزایش مقدار نانو ذرات رس تا سطح 10 درصد، کدورت فیلم‌های تولیدی به‌طور معنی‌داری افزایش یافت ($p < 0/05$)؛ به‌طوری‌که میزان کدورت در فیلم دولایه شاهد و فیلم دولایه-2% TiO_2 حاوی 10 درصد نانورس به ترتیب 0/83 و 7/19 مشاهده شد. شفافیت فیلم‌ها به دلیل داشتن رابطه مستقیم با ظاهر محصول، از جمله ویژگی‌های مهم بسته‌بندی مواد غذایی محسوب می‌شود (چن و همکاران، 2010). هر چه شفافیت فیلم‌های زیست‌تخریب‌پذیر بیشتر و به پلیمرهای سنتزی نزدیک‌تر باشد، پذیرش و استفاده از این نوع مواد بسته‌بندی افزایش می‌یابد. از طرفی شفافیت فیلم‌ها می‌تواند بر سرعت اکسیداسیون چربی‌ها و در نهایت کیفیت محصول بسته‌بندی شده تأثیرگذار باشد (رائو و همکاران، 2010). با توجه به شکل 3 (ب) کدورت فیلم دولایه با افزودن نانو TiO_2 افزایش معنی‌داری داشت و دلیل آن ممکن است به خاطر رنگ سفید نانو ذرات TiO_2 باشد. در صورتیکه اضافه نمودن غلظت‌های مختلف نانو ذرات رس باعث افزایش معنی‌دار کدورت فیلم تولیدی شد ($p < 0/05$). که دلیل آن حل نشدن کامل نانو ذرات رس در ماتریس ژلاتین و بروز خاصیت خودتجمعی به ویژه در غلظت 10 درصدی نانو ذرات رس می‌باشد (آلبوفیتله و همکاران، 2013).

مقادیر نفوذپذیری فیلم‌های دولایه تولیدی نسبت به نور در طول موج‌های 200-800 نانومتر و همچنین کدورت فیلم‌های تولیدی در شکل 3 نشان داده شده است. نتایج حاکی از آن است که افزودن نانو ذرات TiO_2 به فیلم ژلاتین از فیلم دولایه آگار/ژلاتین به‌طور معنی‌داری منجر به کاهش عبور نور به‌ویژه در ناحیه فرابنفش می‌شود ($p < 0/05$). همچنین اضافه کردن غلظت‌های مختلف نانورس باعث کاهش عبور نور هم در ناحیه مرئی و هم در ناحیه فرابنفش شد به‌طوری‌که کمترین میزان عبور نور، برای فیلم دولایه-2% TiO_2 حاوی 10 درصد نانورس بود. بر اساس مطالعات صورت گرفته توسط ژلفی و همکاران (2014)، نانو ذرات TiO_2 به دلیل ماهیت فلزی و ایجاد محلول سفیدرنگ در هنگام آماده‌سازی فیلم که باعث افزایش کدورت فیلم تولیدی می‌شود مسئول جلوگیری از عبور نور به‌ویژه در ناحیه فرابنفش است. از طرفی آمینواسیدهای آروماتیک موجود در ژلاتین از فیلم دولایه، ممکن است مسئول جذب بخشی از نور فرابنفش در این فیلم‌های تولیدی باشد. نتایج به‌دست‌آمده پیشنهاد می‌کند که فیلم دولایه آگار/ژلاتین حاوی درصد‌های بالای نانو TiO_2 به دلیل خاصیت محافظت‌کنندگی بالایی که در برابر نور فرابنفش دارد توانایی به عقب انداختن اکسیداسیون چربی‌ها در محصولات غذایی بسته‌بندی شده حساس به نور را دارد. از طرفی اضافه نمودن نانو ذرات رس به فیلم دولایه باعث افزایش کدورت فیلم



شکل 3- میزان عبور نور (الف) و کدورت (ب) فیلم دولایه آگار/ژلاتین (آ/ژ)، آگار/ژلاتین-2% دی اکسید تیتانیوم (آ/ژ-2% ت)، آگار/ژلاتین-2% دی اکسید تیتانیوم-3% رس (آ/ژ-2% ت-3% ر)، آگار/ژلاتین-2% دی اکسید تیتانیوم-5% رس (آ/ژ-2% ت-5% ر)، آگار/ژلاتین-2% دی اکسید تیتانیوم-10% رس (آ/ژ-2% ت-10% ر).

در فیلم دولایه-2% TiO_2 به دلیل خاصیت آبدوستی بالا، باعث افزایش میزان جذب آب و به دلیل ایجاد مسیرهای پریپچ و خم و برهمکنش بین لایه‌های رس و ماتریکس ژلاتین در فیلم تولیدی به ترتیب باعث کاهش نفوذپذیری در برابر گازها و کاهش رطوبت فیلم تولیدی شد. سطح 5% نانورس به‌عنوان سطح مناسب جهت افزودن به فیلم توصیه می‌شود چون خواص فیزیکی از جمله نفوذپذیری در برابر بخار آب، مقاومت کششی و خواص نوری بهتری (با در نظر گرفتن کدورت) نسبت به بقیه غلظت‌ها از خود نشان می‌دهد. با توجه به نتایج این تحقیق می‌توان اظهار داشت که فیلم دولایه آگار/ژلاتین به دلیل قابلیت بالا در کاهش عبور نور به‌ویژه در ناحیه فرابنفش (توسط نانوذرات تیتانیوم رس) و خواص مقاومتی بالا در برابر عبور بخار آب و گازها (توسط نانو ذرات رس) پتانسیل استفاده به‌عنوان مواد بسته‌بندی دوستدار محیط‌زیست را دارا بوده و می‌تواند ماندگاری مواد غذایی حساس به نور و گازها را به مدت طولانی افزایش دهد.

نتیجه‌گیری

تحقیق حاضر نشان داد نانوذرات TiO_2 در فیلم دولایه آگار/ژلاتین به دلیل ساختار کریستالی و باتوجه به ضریب انکسار بالا، مقدار عبور نور به ویژه در ناحیه فرابنفش را به طور قابل توجهی کاهش داد. از طرفی، افزودن غلظت‌های مختلف نانوذرات MMT (3، 5 و 10%) به فیلم دولایه آگار/ژلاتین حاوی 2 درصد TiO_2 باعث ایجاد تغییراتی در خواص فیزیکی و مکانیکی این فیلم دولایه شد. به طوری که افزودن 3 درصد نانورس باعث افزایش معنی‌داری در مقدار مقاومت کششی، جذب آب، کدورت، اختلاف رنگ کل و کاهش معنی‌داری در میزان حلالیت، درصد ازدیاد طول، نفوذپذیری نسبت به بخار آب و میزان عبور نور به ویژه در ناحیه فرابنفش در مقایسه با فیلم شاهد شد. همچنین، با افزایش غلظت نانورس تا 10 درصد بر میزان تغییرات خواص فیزیکی و مکانیکی فیلم دولایه افزوده شد. بر اساس نتایج بدست‌آمده می‌توان اظهار داشت که استفاده از نانوذرات MMT

منابع

- Abdollahi, M., Alboofetileh, M., Rezaei, M., and Behrooz, R. 2013. Comparing physico-mchanical and thermal properties of alginate nanocomposite films reinforced with organic and/or inorganic nanofillers. *Food Hydrocolloids*, 32(2), 416-424.
- Alboofetileh, M., Rezaei, M., Hosseini, H., and Abdollahi, M. 2013. Effect of montmorillonite clay and biopolymer concentration on the physical and mechanical properties of alginate nanocomposite films. *Journal of Food Engineering*, 117(1), 26-33.
- Arancibia, M., Giménez, B., López-Caballero, M. E., Gómez-Guillén, M. C., and Montero, P. 2014. Release of cinnamon essential oil from polysaccharide bilayer films and its use for microbial growth inhibition in chilled shrimps. *LWT - Food Science and Technology*, 59(2, Part 1), 989-995.
- Azeredo, H. 2009. Nanocomposites for food packaging applications. *Food Research International*, 42(9), 1240-1253.
- Bourtoom, T. and Chinnan, M. S. 2008. Preparation and properties of rice starch-chitosan blend biodegradable film. *LWT-Food Science and Technology*, 41(9): 1633-1641.

- Chang, P. R., Jian, R., Zheng, P., Yu, J., and Ma, X. 2010. Preparation and properties of glycerol plasticized-starch (GPS)/cellulose nanoparticle (CN) composites. *Carbohydrate Polymers*, 79(2), 301-305.
- Chen, C. H., Kuo, W. S. and Lai, L. S. 2010b. Water barrier and physical properties of starch/decolorized hsian-tso leaf gum films: Impact of surfactant lamination. *Food hydrocolloids*, 24(2): 200-207.
- Feng, X. X., Zhang, L. L., Chen, J. Y., Guo, Y. H., Zhang, H. P., and Jia, C. I. 2007. Preparation and characterization of novel nanocomposite films formed from silk fibroin and nano-TiO₂. *International Journal of Biological Macromolecules*, 40(2), 105-111.
- Freile, P.Y., Madera, S.T., Robledo, D., Veleza, L., Quintana, P. and Azamar, J. A. 2007. Degradation of agar films in a humid tropical climate: thermal, mechanical morphological and structural changes. *Polymer Degradation and Stability*, 92 (2): 244-252.
- Gómez-Guillén, M. C., M. Pérez-Mateos, J. Gómez-Estaca, E. López-Caballero, B. Giménez, and P. Montero. 2009. Fish gelatin: a renewable material for developing active biodegradable films. *Trends in Food Science and Technology*, 20: 3-16.
- Gontard, N., Guilbert, S., and Cuq, J.-L. 1992. Edible wheat gluten films-influence of the main process and environmental-conditions on thermal, amechanical and barrier properties. Abstracts of Papers of the American Chemical Society, 204, 217-AGFD.
- Jang, S.-A., Lim, G.-O., and Song, K. B. 2010. Original article: use of nano-clay (Cloisite Na) improves tensile strength and vapour permeability in agar rich red algae (Gelidium corneum)-gelatin composite films. *International Journal of Food Science and Technology*, 45(9), 1883-1888.
- Kanmani, P., and Rhim, J. W. 2014. Development and characterization of carrageenan/grapefruit seed extract composite films for active packaging. *International journal of biological macromolecules*, 68: 258-266.
- Lavorgna, M., Piscitelli, F., Mangiacapra, P. and Buonocore, G. G. 2010. Study of the combined effect of both clay and glycerol plasticizer on the properties of chitosan films. *Carbohydrate Polymers*, 82(2): 291-298.
- Li, Y., Jiang, Y., Liu, F., Ren, F., Zhao, G., and Leng, X. 2011. Fabrication and characterization of TiO₂/whey protein isolate nanocomposite film. *Food Hydrocolloids*, 25(5), 1098-1104.
- Mu, C., Guo, J., Li, X., Lin, W., and Li, D. 2012. Preparation and properties of dialdehyde carboxymethyl cellulose crosslinked gelatin edible films. *Food Hydrocolloids*, 27(1): 22-29.
- Ojagh, S. M., Rezaei, M., Razavi, S. H., and Hosseini, S. M. H. 2010. Development and evaluation of a novel biodegradable film made from chitosan and cinnamon essential oil with low affinity toward water. *Food Chemistry*, 122(1), 161-166.
- Oleyaei, S. A., Zahedi, Y., Ghanbarzadeh, B., and Moayedi, A. A. (2016). Modification of physicochemical and thermal properties of starch films by incorporation of TiO₂ nanoparticles. *International journal of biological macromolecules*, 89, 256-264.
- Pavlat, A. E., Gosset, C., Camirand, W. and Robertson, G. H. 1999. Ionomeric films of alginic acid. *Journal of Food Science*, 64: 61-63.
- Pereda, M., Ponce, A. G., Marcovich, N. E., Ruseckaite, R. A. and Martucci, J. F. 2011. Chitosan-gelatin composites and bi-layer films with potential antimicrobial activity. *Food Hydrocolloids*, 25(5): 1372-1381.
- Rhim, J. W., and Ng, P. K. 2007. Natural biopolymer-based nanocomposite films for packaging applications. *Critical reviews in food science and nutrition*, 47(4): 411-433.
- Rhim, J. W., Hong, S. I., Park, H. M., and Ng, P. K. W. 2006. Preparation and characterization of chitosan-based nanocomposite films with antimicrobial activity. *Journal of Agricultural and Food Chemistry*, 54, 5814-5822.
- Shen, X. L., Wu, J. M., Chen, Y. and Zhao, G. 2010. Antimicrobial and physical properties of sweet potato starch films incorporated with potassium sorbate or chitosan. *Food Hydrocolloids*, 24: 285-290.
- Vejdan, A., Ojagh, S. M., Adeli, A., and Abdollahi, M. 2016. Effect of TiO₂ nanoparticles on the physico-mechanical and ultraviolet light barrier properties of fish gelatin/agar bilayer film. *LWT - Food Science and Technology*, 71, 88-95.
- Zhou, J. J., Wang, S. Y. and Gunasekaran, S. 2009. Preparation and characterization of whey protein film incorporated with TiO₂ nanoparticles. *Journal of Food Science*, 74: 50-55.
- Zolfi, M., Khodaiyan, F., Mousavi, M., and Hashemi, M. 2014. The improvement of characteristics of biodegradable films made from kefiran-whey protein by nanoparticle incorporation. *Carbohydrate Polymers*, 109, 118-125.

Effect of nanoclay addition on the properties of agar/fish gelatin bilayer film containing TiO₂ nanoparticles

S. M. Ojagh^{1*}, A. Vejdan¹, M. Abdollahi²

Received: 2016.07.17

Accepted: 2016.12.18

Introduction: Natural polymers have gained increasing attention for the development of packaging to reduce ecologically-related problems caused by plastic packaging (environmental pollution). Among these natural polymers, proteins such as gelatin is considered a good candidate for food packaging. However, several studies have shown that gelatin films are brittle, and their hydrophilic nature connotes high water vapor permeability and water solubility. Different solutions have been suggested to overcome these weaknesses, including adding crosslinking agents and chemical modification, adding nanoparticles and developing bio-film blends and bilayers with polysaccharides. Agar is a polysaccharide extracted from marine red algae, which is biocompatible, has good mechanical properties and possesses good film-forming properties. Preventing food spoilage from light and oxygen-induced oxidation is one of the greatest concerns in the food industry. Despite having good mechanical and relatively good water vapor permeability properties, protein- or polysaccharide-based films don't have sufficient barrier properties against oxygen and UV light that can't properly prevent the oxidation of food products. Among nanoparticles, metal oxides like TiO₂ (such as antiradiation and antimicrobial activities) and Montmorillonite (such as improved mechanical and barrier properties against moisture, WVP and gases) have evidenced good potential to improve functional properties of bio-films. Thus, the present study aimed to develop a new biodegradable bilayer agar/gelatin film incorporating nanoclay and TiO₂ for food packaging, with maximum water sensitivity and maximum UV light and oxygen barrier properties.

Materials and Methods: Agar/gelatin bilayer films were prepared by a two-step casting technique. First, the agar layer was produced by solubilization of 1.5 g of agar powder (agar-agar analytical grade were obtained from Merck Co., Germany) in 100 mL of distilled water. Then, glycerol (obtained from Merck Co., Germany) was added as plasticizer. The agar film-forming solution was casted onto petri-dish. In the next step, the gelatin (obtained from cold water fish skin was purchased from Sigma-Aldrich, St. Louis, MO, USA) solutions were prepared by dissolving 4 g of the fish gelatin in 100 mL of distilled water. Glycerol was also added as plasticizer. The TiO₂ dispersions (in ratios of 0 and 2% of the gelatin) and MMT (Na⁺-montmorillonite (in ratios of 0, 3, 5 and 10% of the gelatin)) were added to the gelatin solution and stirred and sonicated. Finally, produced solutions were then casted. The agar/gelatin films, with or without TiO₂ and MMT, were characterized using SEM analysis. Film transparency, water vapor permeability, water solubility, swelling, surface color and mechanical properties of the bilayer films were also examined.

Results and Discussion: In this study, bilayer films based on agar and gelatin incorporated with TiO₂-MMT nanoparticles have been successfully developed. Results demonstrated that some properties of the bilayer films were greatly influenced by TiO₂ and MMT nanoparticle content. So that, the addition of TiO₂ decreased water vapor permeability of the bilayers more than 15%, upon increasing TiO₂ content to 2%. However, swelling ratio and moisture content increased with the increase in the nano-TiO₂ content, probably due to the hydrophilic nature of the TiO₂ nanoparticles. Also, whiteness index (WI) increased by adding 2% of TiO₂ nanoparticles. As shown in the surface photograph of the bilayer films, TiO₂ generated more opaque and whiter films, which might be related to the white color of TiO₂ nanoparticles in solution form. Also, the addition of MMT (0, 3, 5, and 10%) to bilayer-2% TiO₂ significantly decreased water vapor permeability and transmission of UV light of the bilayer films. However, tensile strength (TS) decreased with further increase of the nanoparticle concentration. Increasing the concentration of nanoparticles' MMT to 5%, the tensile TS of the agar/gelatin films increased from 12.86 to 20.54 MPa; it might also be related to the interactions between sulphhydryl and carboxylic groups from certain amino acids in the gelatin structure with MMT and TiO₂ nanoparticles. However, the TS decreased again with further increase of the filler content up to 10% MMT. Also, the addition of MMT from 3%-10%

1. Department of Fisheries, Gorgan University of Agricultural Sciences and Natural Resources, Gorgan, Iran.

2. Department of Biology and Biological Engineering-Food and Nutrition Science, Chalmers University of Technology, Gothenburg, Sweden.

(*Corresponding author: mahdi_ojagh@yahoo.com)

concentration significantly reduced the elongation at break value (EB) of the bilayer films from 41.77 to 28.90% for the bilayer films ($p < 0.05$). This might be related to the rigid nature of the nanoparticles, which restricts the motion of the gelatin matrix in terms of the strong interactions between the fillers and gelatin matrix which can reduce the EB of the polymeric matrix. Moreover, incorporating 2% TiO_2 and high concentration of MMT (especially 10%) reduced films' light transmission in UV light can be desirable for the food-packaging industry. Thus, results suggest that the bilayer films containing nano- TiO_2 -MMT may have potential for preservation of light-sensitive food. However, future studies on real food systems are required.

Keywords: Agar, Fish gelatin, Nanocomposite, Titanium dioxide, Nanoclay